



اثر دمای بازپخت بر ویژگی‌های ساختاری، اپتیکی و کاتالیستی نانوذرات فریت مس- روی

حجت خدری^۱، احمد قلیزاده^{۱*}، عظیم ملک‌زاده^۲

۱- گروه فیزیک، دانشگاه علوم پایه دامغان، دامغان

۲- گروه شیمی، دانشگاه علوم پایه دامغان، دامغان

(دریافت مقاله: ۹۴/۳/۱۶، نسخه نهایی: ۹۴/۳/۳۰)

چکیده: در این پژوهش، نانوذرات $Cu_{0.5}Zn_{0.5}Fe_2O_4$ به روش پیش‌ماده سیترات و بازپخت در 200°C و 400°C 600°C تهیه شدند. ویژگی‌های ساختاری نمونه‌ها به روش پراش پودری پرتو X و طیفسنجی فروسرخ بررسی شدند. سرشتی‌یابی ساختاری نمونه‌ها با استفاده از نرمافزار $X'Pert Fullprof$ شاهدی بر تشکیل ساختار مکعبی بی‌حضور فاز ناخالصی است که با طیف‌های $FT-IR$ تأیید شده است. مقادیر اندازه‌ی متوسط بلورک‌ها و پارامتر شبکه‌ای محاسبه شده، کمترین مقدار را برای نمونه بازپختی در دمای 200°C نشان داد. گاف انرژی نواری نمونه‌ها نیز با استفاده از ضربه جذب برآورد شد. در شرایط واکنشی مشابه، نمونه‌ی باز پخت شده در دمای 200°C بهترین عملکرد کاتالیستی را برای اکسایش منواکسید کربن و اتان به دلیل اندازه‌ی بلورک، کوچک‌تر نشان می‌دهد.

واژه‌های کلیدی: فریت مس- روی؛ آلانیده‌های هو؛ نانوکاتالیست؛ اکسایش CO ؛ C_2H_6 .

که به طور کلی مغناطیسی هستند و به راحتی می‌توان پس از پایان واکنش، آن‌ها را با استفاده از یک آهنربا بازیافت و بدون از دست دادن فعالیت کاتالیزوری، مورد استفاده دوباره قرار داد. اخیرا مشاهده شده است که با افزایش جاینشانی Sc در فریت نیکل-کبات، درصد تبدیل استون، بنزن و پروپان افزایش می‌یابد [۱۵]. همچنین نانوذرات فریت کبات در اندازه‌های مختلف $4-10 \text{ nm}$ در واکنش کاتالیزوری تبدیل CO به CO_2 مورد استفاده قرار گرفت و این نتیجه به دست آمد که نانوذرات فریت کوچک‌تر دارای سطح مؤثر ویژه بیشتر و ویژگی‌های کاتالیستی بهتر هستند [۱۶]. لو و چانگ [۱۷]، ویژگی کاتالیستی انواع فریت‌ها در تبدیل CO به CO_2 را بررسی کردند و نشان دادند که فریت مس ($\text{Cu}_x\text{Fe}_{3-x}\text{O}_4$) دارای بالاترین درصد تبدیل است.

همچنین در این بررسی، بیشترین درصد تبدیل CO به ازای نسبت مس به آهن $\frac{1}{2.5} = \frac{x}{3-x}$ مشاهده شد. در میان

مقدمه

در سال‌های اخیر، نانوذرات فریت اسپینل به دلیل ویژگی منحصر به فرد، موضوع پژوهش بسیاری از پژوهشگران و دانشمندان در زمینه‌ی فناوری نانو است. فریت‌های اسپینل دارای فرمول عمومی $[A^{2+}][B^{3+}]O_4$ هستند که در آن A کاتیون‌های فلزی دو ظرفیتی مانند Cu ، Zn ، Ni ، Mn و B Fe است [۱۶-۲۱]. ویژگی‌های ساختاری، یون سه‌ظرفیتی Fe و اسپینل وابسته است [۷]. در این گروه، نانوذرات فریت مس- روی ($\text{Cu}_{1-x}\text{Zn}_x\text{Fe}_2\text{O}_4$) جزء مواد مغناطیسی نرم بسیار اهمیت دارند که در مقایسه با فریت‌های اسپینلی دیگر، کاربردهای بیشتری دارند [۸-۱۴]. ویژگی‌های نانوذرات فریت مس- روی شبیه به رفتارهای مغناطیسی، کاتالیستی و حسگرهای گازی به شدت به نسبت مولی Cu و Zn و روش ساخت وابسته است [۱۲، ۱۳]. برتری بزرگ فریت‌ها برای هدف‌های کاتالیزوری این است

شبانه‌روز در کوره $80^{\circ}C$ کاملاً خشک شد تا پیش‌ماده‌ی سیترات آمده شود. در این مرحله، کل پیش‌ماده‌ی سیترات به دست آمده به سه بخش مساوی تقسیم و هر یک جدأگانه در دماهای $200^{\circ}C$ و $400^{\circ}C$ در کوره‌ی الکتریکی به مدت سه ساعت در هوا بازپخت شدند.

الگوهای پراش پرتو ایکس (*XRD*) با استفاده از پراش‌سنجد *Cu-Kα* با تابش *Advanced D8 Bruker AXS* مدل *Bruker AXS* در kV $Cu-K\alpha$ گستره‌ی زاویه‌ای $\theta = 20-80^{\circ}$ مجهز به منبع mA ۳۰ و 35 با طول موج \AA 1.5404 و با فیلتر نیکل در دمای اتاق ثبت شد. اطلاعات روی *XRD* با استفاده از بسته‌ی تجاری *X'pert* و نرم‌افزار *Fullprof* مورد بررسی قرار گرفت. به‌منظور بررسی ساختار و محاسبه‌ی میانگین اندازه‌ی بلورک‌ها، از دو روش شر و هالدر-واگنر (*H-W*) استفاده شد. درجه وارونگی با استفاده از روش *XRD* با محاسبه‌ی نسبت شدت- $I_{44.1}$ / $I_{22.0}$ و نیز به روش بیناب سنجی فروسرخ بررسی شد، بیناب *UV-Vis* نمونه‌ها با استفاده از *Analytikjena* مدل *Specrod 205* در گستره‌ی طول موج nm $200-1100$ استفاده شد. برای برآورد مقادیر شکاف انرژی از برونویابی بخش خطی نمودار $(\alpha h\nu)$ بر حسب ($h\nu$) برای گذار مستقیم استفاده شد.

طیف فروسرخ نمونه‌ها با *FT-IR* پرکین-المر مدل *RXI* در گستره‌ی cm^{-1} $2000-2000$ ثبت شد. قرص هر نمونه به مقدار کافی به همراه پتاسیم برمید (*KBr*) با فشار 10 تن با پرس تهیه شد.

به‌منظور آزمون کاتالیزورهای تهیه شده، از هوا به عنوان اکسنده همراه با گاز شبیه‌سازی شده اگزوژ در نسبت حجمی مشخص استفاده می‌شود. برای بررسی ویژگی کاتالیستی نمونه‌ها، از *GC-2000*، نرم‌افزارهای *Peak simple* و *TGF'-GC* (برای محاسبه سطح زیر نمودار گازهای تبدیل شده) استفاده شد. برای آماده‌سازی کاتالیزور، پودر تهیه شده در هر سه دما، به مدت 20 ثانیه و با استفاده قرص‌ساز *IR* در فشار 10 نیوتون روی الک آزمایشگاهی در اندازه‌ی $100-60$ مش (تعداد ذرات در واحد سطح) انجام شد. پس از تنظیم دبی گاز اگزوژ در cm^3/min 40 ، جریان گازها در مسیر راکتور از روی بستری شامل 200 میلی‌گرم کاتالیزور قرار داده شده روی پشم

ترکیب‌های $\text{Cu}_{1-x}\text{Zn}_x\text{Fe}_2\text{O}_4$ گروه $\text{Cu}_{0.5}\text{Zn}_{0.5}\text{Fe}_2\text{O}_4$ دارای بیشترین مغناطش اشباع و بهترین ویژگی کاتالیستی هستند [۱۸-۲۰]. در ساخت نانوذرات $\text{Cu}_{0.5}\text{Zn}_{0.5}\text{Fe}_2\text{O}_4$ معلوم شد که اندازه‌ی بلورک، ریخت‌شناسی و فازهای بلوری به شدت به روش ساخت وابسته‌اند [۱۹]. برای مثال، نتایج بررسی‌های کاتالیستی نانوذرات $\text{Cu}_{0.5}\text{Zn}_{0.5}\text{Fe}_2\text{O}_4$ تهیه شده به روش هم‌رسوبی، بیشترین درصد تبدیل را برای هر نمونه آنیلین نشان می‌دهد [۱۳].

فریت مس-روی تاکنون به روش‌های استاندارد حالت جامد [۹]، روش احتراق ماکروبو [۱۰]، پخت سرامیکی [۱۲]، هم-رسوبی [۱۴-۱۳]، فرایند گرمابی [۱۸]، سل-ژل خوداحتراقی [۵] و ... تولید شده است. پخت در دمای بالا اغلب برای ساخت نانوذرات فریت کپهای از طریق واکنش حالت جامدی انجام می‌شود در حالی که برای کاربردهای کاتالیستی نیاز به روش‌های فرایند گرمابی یا پیش‌ماده سیترات است. در این پژوهش از روش پیش‌ماده سیترات برای ساخت نانو ذرات $\text{Cu}_{0.5}\text{Zn}_{0.5}\text{Fe}_2\text{O}_4$ استفاده شده است که به دلیل پخت در دمای پایین، تولید نانوذراتی با اندازه ریز دانه کوچکتر را امکان پذیر می‌سازد. پس از ساخت نمونه‌ها به روش پیش‌ماده‌ی سیترات، تأثیر دمای پخت در هوا بر ویژگی‌های ساختاری، اپتیکی و کاتالیستی آنها مورد بررسی قرار خواهد گرفت.

مواد و روش‌ها

برای ساخت نانو ذرات $\text{Cu}_{0.5}\text{Zn}_{0.5}\text{Fe}_2\text{O}_4$ از روش پیش‌ماده سیترات استفاده شد. مواد اولیه شامل نمک‌های نیترات آهن ($Zn(NO_3)_2 \cdot 4H_2O$), نیترات روی ($Fe(NO_3)_3 \cdot 9H_2O$) و نیترات مس ($Cu(NO_3)_2 \cdot 3H_2O$) بر پایه‌ی عنصر سنجی مطلوب، توزین شدند. سپس هرکدام را به ترتیب در آب قطره حل کرد، تا محلول نیترات‌ها به دست آید. پس از آن اسیدسیتریک با نسبت مولی، مشخص توزین شده و در آب قطره حل کرده و به محلول نیترات‌ها اضافه شد. اسیدسیتریک به عنوان عامل تعليقی [شناوری] به کار می‌رود. در این محلول مجموع مول یون‌های نیترات برابر با اسیدسیتریک، نسبت $1:1$ است. محلول حاصل به مدت 25 دقیقه در دمای اتاق به وسیله یک همزن مغناطیسی، هم زده شد تا کاملاً حل شود و ژل شفاف قهقهه‌ای رنگی به دست آید. ژل حاصل به مدت 2

تأثیر می‌کند که با مقادیر ثبت شده در کارت‌های استاندارد $JCPDS^{\circ}$ به شماره ۷۴-۲۳۹۹ همخوانی دارد. پارامترهای شبکه‌ای یاخته یکه‌ی از بررسی الگوهای پراش پرتو X با استفاده از نرم‌افزار *Fullprof* (شکل ۱ را بینید) بدست آمده است. همچنین با افزایش دما، شدت قله‌های پراش پرتو X نمونه‌ها بیشتر و پهنای آن‌ها کمتر شده است. چنانکه در طیف پراش نمونه‌ها دیده می‌شود، شدیدترین قله مربوط به پراش از صفحه‌ی (۳۱۱) است که در تمام پژوهش‌های دیگر یاد شده در بالا برای فریتهای دارای ساختار اسپینل مکعبی نیز تأیید شده است.

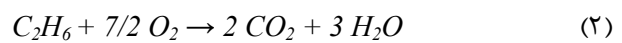
در اینجا از مقایسه‌ای که با استفاده از میانگین اندازه‌ی بلورک‌های نانو ذرات $Cu_{0.5}Zn_{0.5}Fe_2O_4$ به دست آمده از دو روش شر و هالدر-واگنر گزارش شده است. در هر دو روش، مقادیر β_{hkl} (پهنای کامل در نصف بیشینه‌ی $(FWHM)$ قله‌های پراش) و θ از نتایج به دست آمده از روش ریت ولد با استفاده از برنامه *Fullprof* مشخص شده‌اند. همچنین مقادیر d_{hkl} (فاصله‌ی بین صفحات مجاور با شاخص میلر (hkl)) از معادله‌ی برآگ $2d_{hkl} \sin\theta = \lambda$ ، با $\lambda = 1,5404 \text{ \AA}$ محاسبه شده است.

اندازه‌ی بلورک‌ها با استفاده از فرمول شر:

$$\beta_{hkl} = \frac{\lambda}{D \cos\theta} = \beta_c \quad (3)$$

محاسبه‌ی شد که معادله‌ی پهن‌شدگی الگوی *XRD* وابسته به اندازه‌ی بلورک را نشان می‌دهد. در اینجا β_{hkl} پهنای کامل در نیم شدت بیشینه‌ی ($FWHM$) شدیدترین قله‌های مشخص شده روی شکل ۱، K ثابت شر برابر با $0,94$ ، D اندازه‌ی بلورک، $\lambda = 1,5404 \text{ \AA}$ طول موج پرتو ایکس و θ زاویه‌ی برآگ شدیدترین قله‌های مشخص شده روی شکل ۱ برای نانوذرات $Cu_{0.5}Zn_{0.5}Fe_2O_4$ است. شکل ۲ محاسبه‌ی اندازه‌ی بلورک نمونه دمای 400°C به روش شر را نشان می‌دهد. در این روش، رسم مقادیر $\cos\theta$ (محور Y) بر حسب $1/\beta_{hkl}$ (محور X) نمونه‌ها یک خط مستقیم است چنانکه که در شکل ۲ دیده می‌شود، شبیه برآش خطی داده‌ها، اندازه‌ی بلورک (D) را به ما می‌دهد. در این روش، افزایش پهنای قله به علت کاهش اندازه‌ی بلورک است.

سرامیک در راکتور واقع درون کوره عبور می‌کند. آنالیز محصولات با نمونه‌گیری و تزریق به GC صورت گرفت. نخست گازهای واکنش‌گر از مسیر جانبی آنالیز شدند. سپس مخلوط گازی پس از عبور از روی کاتالیزور، برای آنالیز به GC تزریق و در دمای مختلف انجام گرفت. به این صورت که پس از هر مرحله تزریق، دمای کوره تا اکسایش کامل گازهای اگزوژ مدل CO و اتان (C_2H_6) افزایش می‌یابد. واکنش‌های اکسایش کامل اجزای گاز اگزوژ بنابر مدل زیر صورت گرفت.



برای شناسایی فراورده‌ها از کروماتوگرافی گازی استفاده شد. سیستم آنالیز مورد استفاده در این کار پژوهشی از گاز کروماتوگراف گازی مدل $GC-2000$ شرکت صنایع طیف‌گستر مجهز به متانایزر^۳ استفاده شد. این دستگاه شامل ستونی از *Porapack*- Q است که دانه‌های پلیمری حفره‌دار است که جذب و دفع گازها روی آن انجام شود. آشکارساز مورد استفاده از نوع FID بوده است. از آن جاکه این شناساگر برای شناسایی هیدروکربن‌هاست، برای شناسایی گازهای CO و CO_2 از کاتالیزور متانایزر استفاده شد. این کاتالیزور در 390°C CO و CO_2 را به متان تبدیل می‌کند. این واکنش‌ها با گاز هیدروژن انجام می‌شود. لذا گاز هیدروژن به عنوان گاز حامل استفاده شد، و خروجی ستون وارد متانایزر و سپس با آشکارساز یوننیده کننده شعله‌ای شناسایی شد.

بنابراین فعالیت کاتالیزوری، درصد تبدیل گاز منواکسیدکربن و اتان از دمای محیط با افزایش دما تا اکسایش کامل گازهای اگزوژ مدل CO و اتان (C_2H_6) با استفاده از آنالیز محصولات، بررسی شدند.

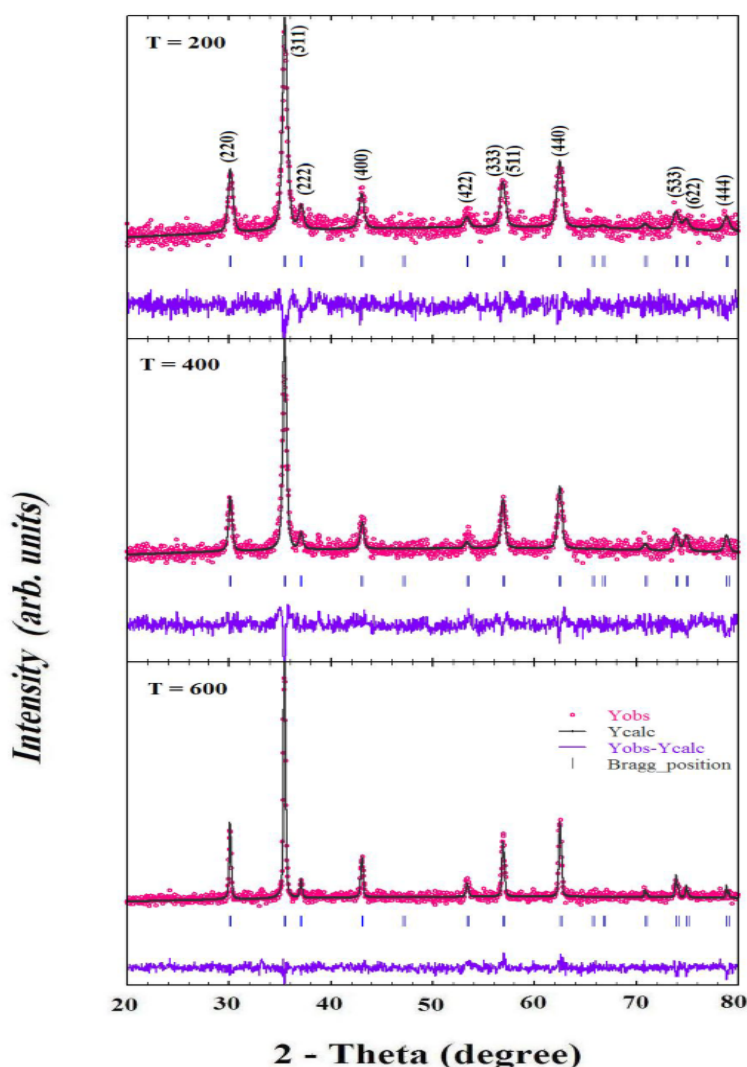
نتایج و بحث

بررسی ویژگی ساختاری

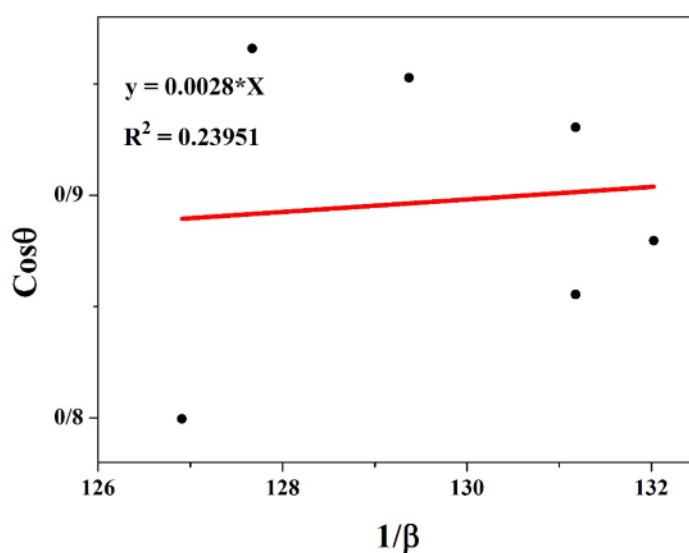
برای بررسی ویژگی‌های ساختاری نمونه‌ها از الگوهای پراش پرتو X استفاده شد. بررسی‌های ساختاری با استفاده از بسته تجاری *X'pert* برای هر سه نمونه تشکیل ساختار اسپینل مکعبی با گروه فضایی *Fd-3m* بدون حضور فاز ناخالصی را

2- Methanizer

3- Flammable Ionization Detector



شکل ۱ الگوی پراش پرتو X -فریت مس-روی در دمایهای مختلف، نقطه‌ها، داده‌های خام مربوط به الگوی پراش، خط پر، الگوی پراش محاسبه شده، خطوط عمودی، مکان قله‌های برآگ ساختارهای مکعبی با گروه فضایی $Fd\text{-}3m$ برای نمونه‌ها را نشان می‌دهند. پایین‌ترین منحنی، مربوط به اختلاف بین الگوهای پراش ثبت شده و محاسبه شده است.



شکل ۲ محاسبه اندازه بلورک نمونه بازپخت شده در دمای 400°C به روش شر.

I_{44} / I_{22} . و پارامتر شبکه‌ای a در جدول ۱ آمده است. افزایش دمای پخت علاوه بر کاهش پهنای قله های پراشی (افزایش اندازه‌ی بلورک و در نتیجه کاهش میکروکرنش شبکه‌ای)، سبب حرکت مکان قله‌ها به سمت زاویه‌های بیشتر (کاهش ثابت شبکه و حجم) می‌شود. اندازه‌ی بلورک به دست آمده به روش هالدر-واگنر دقیق‌تر از روش شر است، زیرا نقاط بازاش شده در این روش به خط بازاش نزدیک‌تر هستند. میانگین بلورک نمونه‌های بازپخت شده در دمای بالاتر، محاسبه شده به روش هالدر-واگنر، بزرگ‌تر از مقادیر بدست آمده از نمونه‌های بازپخت شده در دمای پایین‌تر است. میکروکرنش با پهنای قله رابطه‌ی مستقیم و با اندازه بلورک رابطه معکوس دارد. در اینجا افزایش بلورینگی (اندازه‌ی بلورک) در اثر افزایش دمای بازپخت می‌تواند ناشی از کاهش سهم میکروکرنش شبکه‌ای باشد. در مورد ذرات کوچک‌تر نسبت سطح به حجم بزرگ موجب کرنش‌ها و واپیچش‌هایی در ساختار نزدیک به سطح می‌کند.

از این‌رو برای نانوذرات، اختلاف انرژی بین دو حالت یون-های Fe^{3+} اشغال کننده هر دو جایگاه چهاروجهی A و هشت-وجهی B انتظار می‌رود تا در مقایسه با اختلاف انرژی بین این دو وضعیت در مواد که ای کاهش یابد و در نتیجه سبب افزایش وارونگی شود [۲۳]. بنابراین، با کاهش بیشتر اندازه ذرات و افزایش نقش سطح، این تمایل وارونگی بیشتر می‌شود.

فرمول شر برای تعیین اندازه‌ی بلورک از توزیع خطی گاووسی استفاده می‌کند. انتظار می‌رود که فرمول شر برای اندازه‌ی بلورک‌های بزرگ‌تر از ۱۰ نانومتر معتبر باشد.

اطلاعات میکروکرنش (ε) و اندازه‌ی بلورک (D) از β_{hkl} با استفاده از روش هالدر-واگنر ($H-W$) به دست آمده است. روش $H-W$ تقریب زیر را ارائه می‌دهد [۲۱]:

$$\beta_{hkl}^2 = \beta_L \beta_{hkl} + \beta_G^2 \quad (4)$$

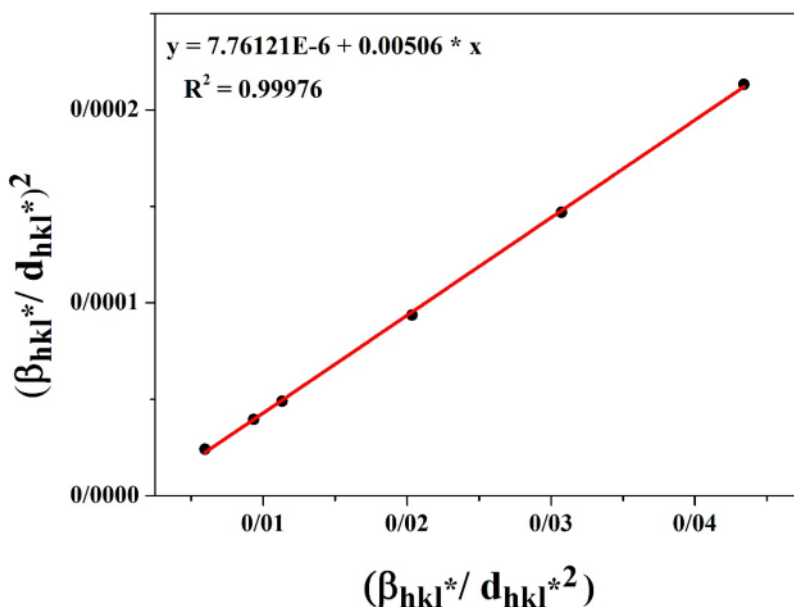
که β_L و β_G به ترتیب عبارتند از مؤلفه‌های لورنتس و گاووسی. در روش $H-W$ ، اندازه‌ی بلورک و میکروکرنش به ترتیب با استفاده از توابع لورنتسی و گاووسی، شرح داده شده‌اند [۲۲].

فرمول ارائه شده برای روش $H-W$ به صورت زیر است:

$$(\beta_{hkl}^*/d_{hkl}^*)^2 = (1/D)(\beta_{hkl}^*/d_{hkl}^{*2})^2 + (\varepsilon/2)^2 \quad (5)$$

که در آن $d_{hkl}^* = 2\sin\theta/\lambda$ و $\beta_{hkl}^* = \beta_{hkl}\cos\theta/\lambda$ در این روش رسم نمودار $(\beta_{hkl}^*/d_{hkl}^*)^2$ (محور Y) بر حسب $(\beta_{hkl}^*/d_{hkl}^{*2})$ (محور X) مربوط به شدیدترین قله‌های مشخص شده روی شکل ۱ یک خط راست با شیب مثبت و عرض از مبدأ غیر صفر است که برای $Cu_{0.5}Zn_{0.5}Fe_2O_4$ بازپخت شده در دمای $400^\circ C$ در شکل ۳ نشان داده شد. اندازه‌ی بلورک (D) از وارون کردن شیب بازاش خطی و میکروکرنش از ریشه‌ی عرض از مبدأ به دست آمده است.

اندازه‌ی بلورک محاسبه شده به دو روش شر و هالدر-واگنر، میکروکرنش محاسبه شده به روش هالدر-واگنر، نسبت



شکل ۳ محاسبه‌ی اندازه‌ی بلورک نمونه‌ی بازپخت شده در دمای $400^\circ C$ به روش $H-W$.

فرایند رخ دهنده طی گرمادهی، افزایش بلورینگی است که با کاهش میکروکرنش و تغییرات وارونگی همراه است.

تصاویر TEM و SEM

تصاویر SEM و TEM کاتالیست بازپختی در دمای 200°C در شکل ۴ نشان داده شده اند. تصویر SEM نشان می‌دهد که ساختار آن متخلخل است. افزایش پارامتر تخلخل، افزایش فعالیت کاتالیزور را به همراه دارد.

تصویر TEM تشکیل نانو کاتالیزور با ابعاد (d) کمتر از ۱۰۰ نانومتر را نشان می‌دهد. نمودار توزیع اندازه ذرات این کاتالیزور رسم شد و میانگین اندازه ذره (d_{TEM}) برای این کاتالیست با استفاده از برازش توزیع اندازه ذرات باتابع توزیع لگاریتم نرمال:

$$P(d) = \frac{1}{d\sigma_d \sqrt{2\pi}} \exp\left\{-\frac{1}{2\sigma_d^2} \ln^2\left(\frac{d}{d_{TEM}}\right)\right\} \quad (4)$$

مقدار ۲۰ نانومتر به دست آمد. اندازه ذره به دست آمده از این روش بزرگتر از داده‌های حاصل از براش پرتواکس است که می‌تواند ناشی از شکل‌های مختلف نانوذرات (به صورت کروی و یا چند وجهی) است.

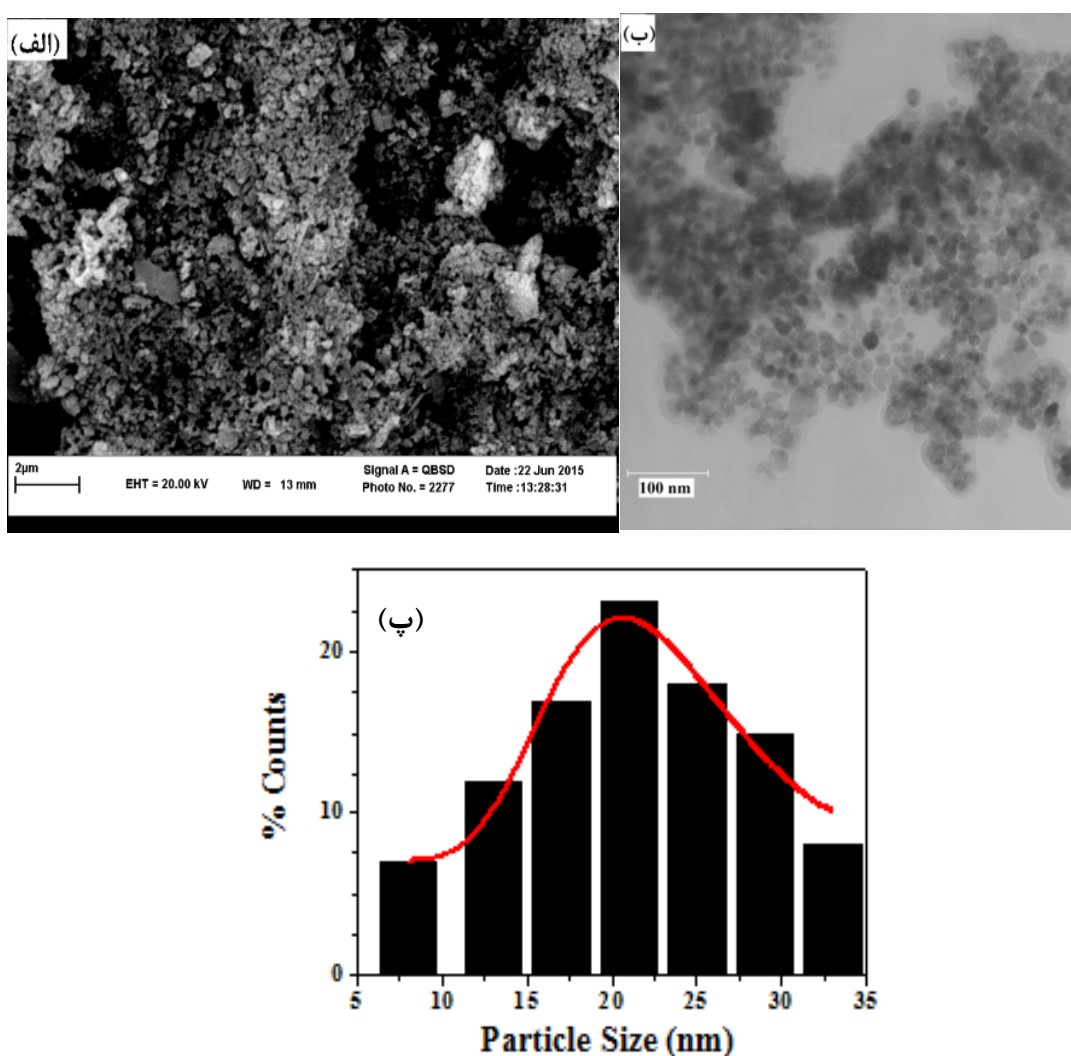
بررسی طیف فروسرخ

طیف فروسرخ نمونه‌ها در شکل ۵ نشان داده شده است. مقادیر مدهای نوسانی فروسرخ برای نمونه‌ها در جدول ۲ آورده شده اند. با توجه به نظریه‌ی گروه، اسپینل مکعبی بهنجار و وارون، باید چهار نوار فروسرخ به نمایندگی از ν_1 , ν_2 , ν_3 و ν_4 داشته باشد.

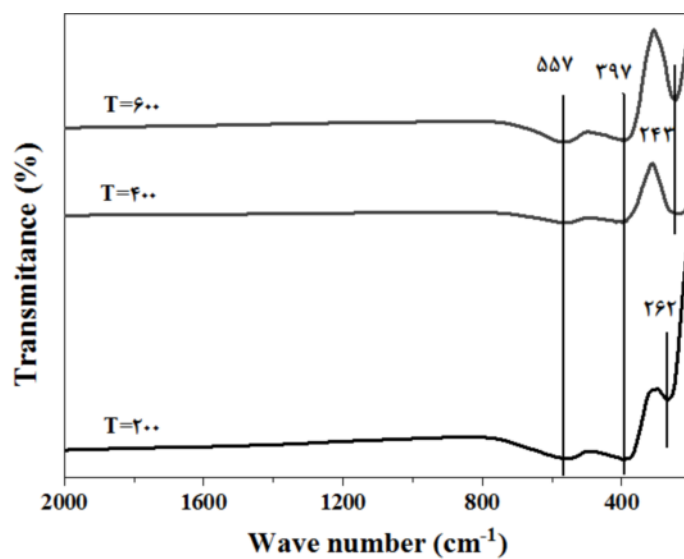
همچنین بنا بر گزارش‌های قبلی، افزایش وارونگی به سبب بازتوزیع کاتیون‌ها در جایگاه‌های A و B در کاهش پارامتر شبکه‌ای و پارامتر مکانی اکسیژن، ساختار اسپینل تأثیر دارد [۲۵, ۲۶]. به سبب انتقال کسری از یون‌های Zn^{2+} به جایگاه‌های B و در نتیجه فشار به یون‌های Fe^{3+} واقع در جایگاه‌های B و انتقال آنها به جایگاه‌های چهاروجهی A ، افزایش وارونگی برخلاف اولویت‌های شیمیایی نتیجه می‌شود [۲۵]. از آنجا که یون‌های Fe^{3+} با شعاع یونی کوچکتر (\AA $0,64$)، جایگاه‌های هشت‌وجهی یون‌های Fe^{3+} را اشغال می‌کنند در نتیجه دو ظرفیتی بزرگتر Zn^{2+} (\AA $0,83$) را اشغال می‌کنند در نتیجه کاهش پارامتر شبکه‌ای به دلیل افزایش درجه‌ی وارونگی، انتظار می‌رود [۱۱]. همچنین بنابر گزارش‌های قبلی، کاهش نسبت $I_{22.}/I_{44.}$ نمونه بازپختی در دمای 200°C سبب افزایش وارونگی این نمونه بازپختی در دمای 200°C و افزایش نسبت $I_{22.}/I_{44.}$ نمونه بازپختی در دمای 600°C سبب کاهش وارونگی نسبت به نمونه بازپختی در دمای 400°C می‌شود [۲۶]. باید توجه داشت که تأثیر جایگاه‌های هشت‌وجهی در ثابت شبکه $\sqrt{3}$ برابر جایگاه‌های چهاروجهی است [۲۶]. بنابراین، داده‌های جدول ۱ برای کاتالیست‌های مورد بررسی نشان می‌دهند که طی افزایش دما تا 400°C ، افزایش وارونگی سبب کاهش پارامتر شبکه‌ای می‌شود. در ادامه با افزایش دما تا 600°C ، با وجود کاهش جزئی وارونگی و برگشت تعداد کمی از یون‌های Fe^{3+} و Zn^{2+} به ترتیب به جایگاه‌های A و B ، حجم کاهش می‌یابد که می‌تواند ناشی از فرایند تغییر همزمان دو جایگاه A و B باشد [۲۶]. از بحث بالا می‌توان نتیجه گرفت که

جدول ۱ اطلاعات ساختاری و اندازه‌ی بلورک نمونه‌ها.

نano کاتالیست	دما ($^{\circ}\text{C}$)	اندازه بلورک (نانومتر)		میکروکرنش $\varepsilon_{H-W} \times 10^{-3}$	$I_{22.}/I_{44.}$	ثابت شبکه a (\AA)
		D_{Sch}	$D_{H.W}$			
$Cu_{0.5}Zn_0Fe_2O_4$	۲۰۰	۱۵,۵۱	۱۴,۶۴	۸,۰۳	۰,۸۶	۸,۴۰۸
	۴۰۰	۵۱,۷	۱۹,۷۶	۵,۵۷	۰,۷۶	۸,۴۰۷
	۶۰۰	۸۸,۲	۳۳,۰۰	۴,۵۳	۰,۹۷	۸,۴۰۴



شکل ۴ تصاویر (الف) SEM و (ب) TEM و (پ) توزیع لگاریتم نرمال ذرات به همراه برازش آن برای نمونه بازپختی در دمای ۲۰۰°C.



شکل ۵ الگوی طیف‌سنجی فروسرخ نمونه‌ها.

جدول ۲ مقادیر مدهای نوسانی فروسرخ نمونه‌ها.

نمونه <chem>Cu0.5Zn0.5Fe2O4</chem>	دما °C	بسامدها		
		v₁	v₂	v₄
	۲۰۰	۵۵۷	۴۰۱	۲۶۶
	۴۰۰	۵۶۶	۴۰۰	۲۳۵
	۶۰۰	۵۶۳	۳۹۷	۲۴۶

جایگاه هشتوجهی نسبت داده می‌شود [۱۱]. افزایش شدت این بسامد با افزایش دما نشان‌دهنده افزایش مقدار Fe^{2+} است.

بررسی ویژگی اپتیکی

جذب اپتیکی یکی از ابزارهای مناسب برای فهم شکاف نواری مواد اپتیکی است. شکاف نوری نمونه‌ها با استفاده از مقادیر درآشامی (A) از طیف درآشامی آن‌ها و محاسبه ضریب درآشامی (α)، با استفاده از رابطه (۵) و سپس جای نشاندن آن در رابطه تاواک (۶) برای نیمرساناهای با شکاف مستقیم وغير مستقیم و برون یابی بخش خطی منحنی رسم شده بر حسب انرژی فوتون فروودی بدست می‌آید [۲۸].

$$\alpha = 2.303 \frac{A}{t} \quad (5)$$

$$(\alpha h\nu)^2 = A(h\nu - E_g) \quad (6)$$

که در آن $t = 1 \text{ cm}$ معادل ضخامت سلول مورد استفاده، A درآشامی است که از روی طیف درآشامی اپتیکی به دست می‌آید و $h\nu$ انرژی فوتون فروودی است. با استفاده از برون یابی بخش خطی نمودار $(\alpha h\nu)$ بر حسب $(h\nu)$ (شکل ۶ را ببینید)، شکاف نواری نمونه‌های بازپخت شده در دماهای ۲۰۰، ۴۰۰ و ۶۰۰ °C به ترتیب مقادیر ۱/۴۵، ۱/۲۷ و ۱/۱۸ eV به دست آمده است. میزان خطا در روش تاواک برای اندازه گیری مقادیر شکاف انرژی این نمونه‌ها تقریباً 0.05 eV است که باید در نظر گرفته شود. اثر کاهش اندازه نانوذرات سبب افزایش شکاف نواری شده است که این یک اثر حبس کوانتموی است. با کاهش اندازه بلورک، تعداد اتم‌های داخل بلورک زیاد می‌شوند که منجر به کاهش چگالی ترازها، نازکتر شدن نوارها و در نتیجه باعث فاصله گرفتن بیشتر نوارهای ظرفیت و رسانش از هم می‌شود. این اثر یک پدیده کوانتموی است. در مقالات،

بنا برگزارش، که سه نوار فروسرخ، اولی وابسته به سیستم چهاروجهی و هشتوجهی، چهارمی وابسته به ارتعاشهای شبکه است. بسامدهای v₁ حدود 570 cm^{-1} و v₂ در گستره بسامد $393-397 \text{ cm}^{-1}$ وابسته به ارتعاشات یون‌های آهن به ترتیب در دو جایگاه چهاروجهی و هشتوجهی قرار دارند [۲۷]. سومین بسامد v₃ در گستره $285-339 \text{ cm}^{-1}$ وابسته به ارتعاشات یون‌های فلزی دو ظرفیتی جایگاه هشتوجهی و جایگاه‌های اکسیژن است. در نهایت، بسامد ارتعاشی شبکه، v₄ در گستره بسامد 208 cm^{-1} است [۲۷]. نتایج حضور سه بسامد v₁، v₂ و v₄ به ترتیب در پیرامون بسامدهای تشکیل ساختار اسپیتل نمونه‌های است. مقادیر مشاهده شده بسامد v₁ و v₂ برای فریت مس- روی دارای ساختار اسپینل مکعبی در مقالات دیگر نیز تأیید شده است [۵ و ۱۱]. پنهان شدگی بیشتر این دو نوار حاکی از افزایش وارونگیست. بسامد v₃ در 380 cm^{-1} در مؤلفه‌های اپتیکی KBr استفاده شده در اندازه‌گیری، پنهان شده است. هیچ نوار جذبی که نشان‌دهنده حضور ناخالصی در ساختار پودری نمونه‌ها باشد در طیف فروسرخ بدست آمده مشاهده نشده است.

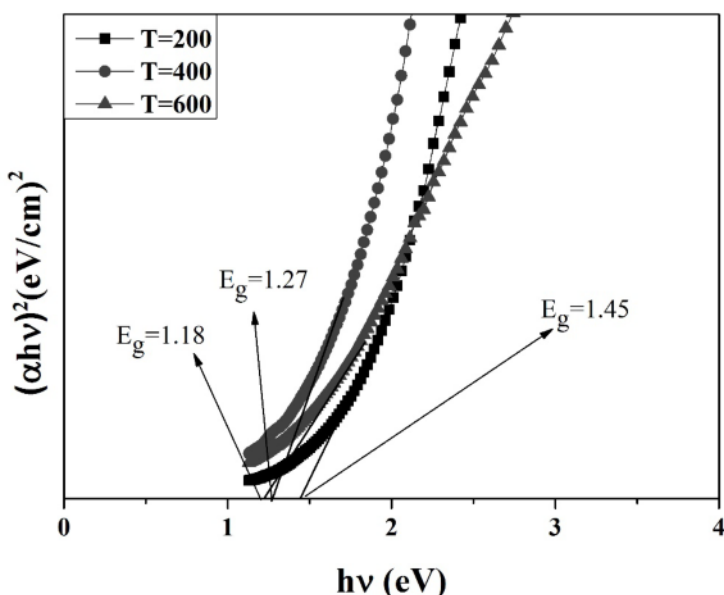
با استفاده از نتایج ساختاری، افزایش وارونگی با افزایش دما می‌تواند دلیل افزایش بسامد v₁ وابسته به ارتعاشهای یون‌های آهن در جایگاه چهاروجهی و کاهش بسامد v₂ وابسته به ارتعاشهای یون‌های آهن در جایگاه هشتوجهی باشد [۲۶]. باید توجه داشت که تغییرات بسامدهای فروسرخ با طول پیوند، رابطه عکس دارند. جابجایی کسری از یون‌های Zn^{2+} بزرگتر و Fe^{3+} کوچکتر به ترتیب به جایگاه‌های هشتوجهی B و چهاروجهی A سبب می‌شود تا طول باندهای جایگاه‌های هشتوجهی B و چهاروجهی A به ترتیب افزایش و کاهش یابند. حضور بسامد پیرامون 250 cm^{-1} به تغییر جرم یون‌های جایگاه هشتوجهی وابسته است که به تشکیل نوار جدید

از داده‌های جدول ۱ مشاهده می‌شود که دماهای لازم برای اکسایش منواکسیدکربن و اتان متفاوت است. اکسایش اتان و منواکسیدکربن، در اثر دو سازوکار متفاوت انجام می‌شود. چنین ادعایی در منابع و مراجع دیگر نیز تأیید می‌شود. گزارش شده است که افزایش خصوصیات کاهش‌پذیری کاتالیزور در دماهای پایین از یکسو و پیوند و آزادسازی سریع اکسیژن در سطح کاتالیزور از سوی دیگر، دو فاکتور مهم و تعیین‌کننده در فرآیند اکسایش منواکسیدکربن محسوب می‌شود [۲۹].

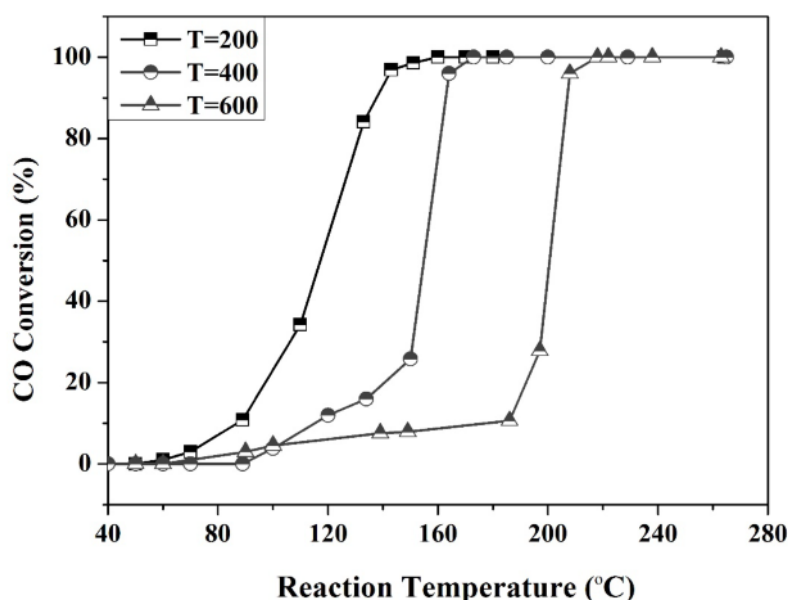
شکاف نواری نانو ذرات $Cu_{1-x}Zn_xFe_2O_4$ را بین 42 eV / ۱ تا 220 eV گزارش کرده‌اند [۱۰، ۸].

بررسی ویژگی کاتالیستی

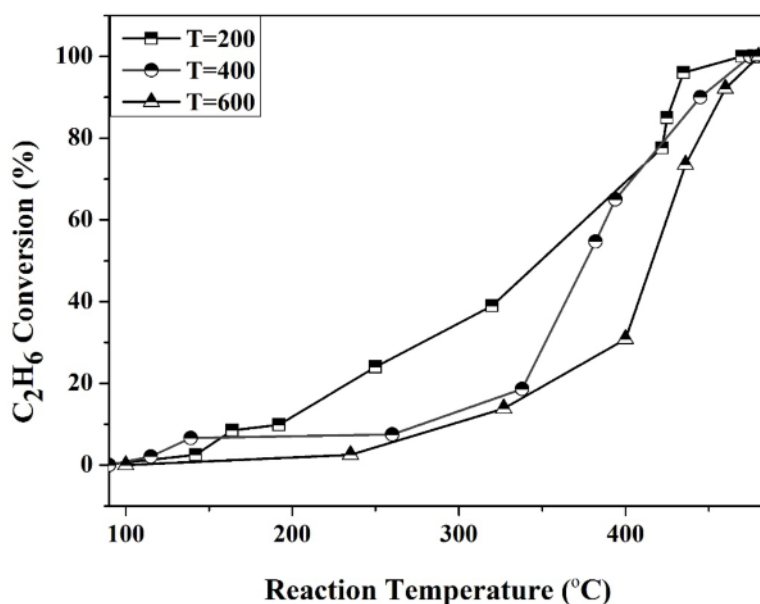
عملکرد کاتالیزورهای $Cu_{0.5}Zn_{0.5}Fe_2O_4$ در دماهای مختلف برای اکسایش منواکسیدکربن و اتان به ترتیب در شکل‌های ۷ و ۸ نشان داده شده است. همچنین، نتایج آزمون عملکرد کاتالیستی کاتالیزورها، برای اکسایش CO و C_2H_6 در جدول ۳ خلاصه شده است.



شکل ۶ برونبابی بخش خطی نمودار $(\alpha h v)^2$ بر حسب $(h v)$ نمونه‌ها.



شکل ۷ منحنی عملکرد کاتالیزورهای $Cu_{0.5}Zn_{0.5}Fe_2O_4$ بازپخت شده در دماهای مختلف برای تبدیل CO به CO_2 .



شکل ۸ مقایسه عملکرد کاتالیزورهای $Cu_{0.5}Zn_{0.5}Fe_2O_4$ بازپخت شده در دماهای مختلف برای اکسایش C_2H_6 .

جدول ۳ نتایج عملکرد کاتالیزورهای $Cu_{0.5}Zn_{0.5}Fe_2O_4$ در دماهای مختلف برای اکسایش C_2H_6 و CO

نانو کاتالیست	دما °C	دمای واکنش CO (°C)			دمای واکنش C_2H_6 (°C)		
		%۱۰	%۵۰	%۹۰	%۱۰	%۵۰	%۹۰
$Cu_{0.5}Zn_{0.5}Fe_2O_4$	۲۰۰	۹۰	۱۲۰	۱۳۵	۱۹۵	۳۴۹	۴۲۷
	۴۰۰	۱۲۰	۱۵۵	۱۶۳	۲۸۵	۳۷۶	۴۴۵
	۶۰۰	۱۸۰	۲۰۴	۲۰۷	۲۹۸	۴۱۶	۴۵۷

با استفاده از نتایج به دست آمده، افزایش دما باعث کاهش خاصیت کاتالیستی نمونه، برای اکسایش منواکسیدکربن و اتان شده است. چنان که در بحث ساختاری بیان شد، با افزایش دما اندازه‌ی بلورک نمونه‌ها افزایش می‌یابد. افزایش اندازه‌ی بلورک منجر به افزایش اندازه‌ی ذره و کاهش سطح مؤثر خواهد شد. هر چه اندازه‌ی ذره کوچک‌تر باشد، نمونه ویژگی کاتالیستی بهتری از خود نشان می‌دهد، به این دلیل که سطح مؤثر ذره بزرگ‌تر است. بنابراین نمونه‌ی بازپختی در دماهای کمتر از $200^{\circ}C$ ، دارای ویژگی کاتالیستی بهتری در اکسایش اتان و منواکسیدکربن در دمای کمتر است که در هر دو مورد به اندازه‌ی کوچک‌تر ذرات مربوط می‌شود. همچنین باید توجه داشت که افزایش دمای پخت می‌تواند اندکی در کاهش اکسیژن‌های سطحی و در نتیجه افزایش دمای واکنش اکسایش اتان و منواکسیدکربن تأثیر بگذارد.

فرآیندی که به گفته‌ی پژوهشگران با سازوکار به اصطلاح زبرسطحی^۵ انجام می‌شود. برخلاف سازوکاری که برای اکسایش منواکسیدکربن پیشنهاد می‌شود (سازوکار زبرسطحی)، گزارش شده‌است که فرآیند اکسایش اتان با سازوکاری موسوم به زیرسطحی^۶ صورت می‌گیرد که در این سازوکار، اکسیژن‌های شبکه کاتالیزور عامل اصلی در تبدیل اتان به حساب می‌آید [۲۹]. با توجه به آنچه که گفته شد، اختلاف مشاهده شده مربوط به دماهای واکنش اکسایش منواکسیدکربن و اتان به این دلیل است که برای اکسایش اتان باید دمای واکنش نسبت به حالت اکسایش منواکسیدکربن افزایش یابد تا با جنبش اکسیژن‌های شبکه و آمدن آن‌ها به سطح فرایند اکسایش انجام شود.

5- Suprafacial Reaction
6- Intrafacial Reaction

مراجع

- [۱] اکبری ف، نیایی فر م، حنطهزاده م، "بررسی خواص ساختاری و مغناطیسی نانوذرات فریت $Ni_{0.65}Zn_{0.35}Cu_xFe_2O_4$ "، مجله بلور شناسی و کانی شناسی ایران، سال بیست و سوم، شماره ۲.
- [۲] Jadhav P. A., Devan R.S., Kolekar Y.D., Chougule B.K., "Structural, electrical and magnetic characterization of Ni-Cu-Zn ferrite synthesized by citrate precursor method", Journal of Physics and Chemistry of Solids, 70 (2009) 396-400.
- [۳] منوچهری س، عمیقیان ج، مظفری م، یوسفی م، ح، "تهییه نانوذرات فریت کبالت-روی و بررسی تغییرات دمای بستن با جانشانی روی به جای کبالت در میدان مغناطیسی متنابض با بسامدهای گوناگون"، مجله بلور شناسی و کانی شناسی ایران، سال بیستم، شماره ۱.
- [۴] Ramay S. M., Rafique H. M., Aslam H. M., Shar M. A., "Structural, Morphological, and Magnetic Characterization of Sol-Gel Synthesized MnCuZn Ferrites", Magnetics, IEEE Transactions, 50 (2014) 1-4.
- [۵] Thanit T., Ruangphanit A., Pecharapa W., "Structural and magnetic properties of nanocrystalline zinc-doped metal ferrites (metal= Ni; Mn; Cu) prepared by sol-gel combustion method", Ceramics International, 39 (2013) 239-243.
- [۶] Yanez-Vilar S., Sanchez-Andujar M., Gomez-Aguirre C., Mira J., Senaris-Rodriguez M.A., Castro-Garcia S., "A simple solvothermal synthesis of MFe_2O_4 ($M= Mn, Co$ and Ni) nanoparticles", Journal of Solid State Chemistry, 182 (2009) 2685-2690.
- [۷] Boris Kharisov I., Rasika Dias H. V., Kharissova V., "Mini-review: Ferrite nanoparticles in the catalysis", Arabian Journal of Chemistry, 1878 (2014) 290.
- [۸] کشفی م، دادمهر و، مرادلو ع، معماریان ف، "ساخت و مشخصه پایی نانوکریستال‌های $Cu_{1-x}Zn_xFe_2O_4$ و بررسی خصوصیات اپتیکی آن"، مقاله‌نامه کنفرانس فیزیک ایران (۱۳۹۳).
- [۹] Muhammad A., Maqsood A., "Structural, electrical and magnetic properties of $Cu_{1-x}Zn_xFe_2O_4$ ferrites ($0 \leq x \leq 1$)", Journal of Alloys and Compounds, 460 (2008) 54-59.

بنابر گزارش قبلی، از بررسی ویژگی کاتالیستی پنج کاتالیزور فریت ($M = Cu, Zn, Mn, Ni$)، $M_xFe_{(3-x)}O_4$ ، نمونه فریت مس به ازای نسبت مس به آهن $\frac{x}{3-x} = \frac{1}{2.5}$ ، بیشترین توانایی تبدیل CO به CO_2 را دارد، به طوری که درصد تبدیل CO به وسیله‌ی نمونه‌ی فریت مس در دمای $155^\circ C$ صورت گرفت [۱۷]. همچنین فریت روی بدترین فعالیت تبدیل را از خود نشان داد تا جایی که تا دمای $350^\circ C$ تبدیل CO به طور کامل انجام نشده بود. رفتار نمونه‌ی بازپختی در دمای $400^\circ C$ ، شبیه به نمونه‌ی فریت مس با همان درصد مس در این گزارش بوده است. همچنین نانوذرات فریت کبالت در اندازه‌ی کوچک $5.8 nm$ دارای $50^\circ C$ درصد تبدیل CO در دمای $125^\circ C$ است [۱۶]. این در حالی است که نمونه‌های بازپختی در دمای $200^\circ C$ به خاطر داشتن اندازه دانه‌های کوچکتر و سطح موثر ویژه‌ی بیشتر، بهترین توانایی تبدیل CO به CO_2 را در دمای $135^\circ C$ از خود نشان دادند. اینچنین دمای پایین تبدیل در هیچ نمونه‌ی فریت دیگری مشاهده نشده است.

برداشت

در این کار، نانوذرات $Cu_{0.5}Zn_{0.5}Fe_2O_4$ به روش سیترات تهییه شدند. الگوی پراش پرتو X و طیف فروسرخ نمونه‌ها، تشکیل ساختار اسپینل مکعبی فریت مس- روی بدون حضور فاز ناخالصی را تأیید می‌کند. برای محاسبه‌ی میانگین اندازه‌ی بلورک، روش $H-W$ نسبت به روش شر نتایج دقیق‌تری نشان می‌دهد. از نتایج ساختاری می‌توان نتیجه گرفت که فرایند رخشنه‌دهنده طی گرمادهی، افزایش بلورینگی است که با کاهش میکروکرنش و تغییرات وارونگی همراه است. مقادیر مدهای نوسانی فروسرخ نمونه‌ها حضور سه بسامد 0.1 ، 0.2 و 0.4 را به ترتیب در اطراف بسامدهای 560 ، 400 و $250 cm^{-1}$ دادند که تغییرات بسامدهای 0.1 ، 0.2 بر اساس تغییرات وارونگی تفسیر می‌شود. مقدار گاف نواری نمونه‌ها با افزایش دما و افزایش اندازه‌ی ذره، کاهش یافت. نمونه‌ی بازپختی در دمای کمتر دارای کوچکترین اندازه‌ی بلورک و بیشترین سطح موثر است که ویژگی کاتالیستی بهتری را برای اکسایش CO و C_2H_6 نشان می‌دهند.

- [21] Halder N. C., Wagner N. C. J., “*Separation of particle size and lattice strain in integral breadth measurements*”, *Acta Crystallogr*, 20 (1966) 312.
- [22] Langford J. E., “*International Conference Accuracy in Powder Diffraction II, National Institut of Standards and Technology*”, Special Publication, 846 (1992) 145.
- [23] Atif M., Hasanain S.K., Nadeem M., “*Magnetization of sol-gel prepared zinc ferrite nanoparticles: Effects of inversion and particle size*”, *Solid State Communications* 138 (2006) 416–421.
- [24] Šepelák V., Wilde L., Steinike L., Becker L., “*Thermal stability of the non-equilibrium cation distribution in nanocrystalline high-energy milled spinel ferrite*”, *Materials Science and Engineering A* 375–377 (2004) 865–868
- [25] Mozaffari Eghbali M., Arani M., Amighian J., “*The effect of cation distribution on magnetization of ZnFe₂O₄ nanoparticles*”, *Journal of Magnetism and Magnetic Materials*, 322 (2010) 3240–3244.
- [26] Iyer R., Desai R., Upadhyay R. V., “*Low temperature synthesis of nanosized Mn_{1-x}Zn_xFe₂O₄ ferrites and their characterizations*”, *Bulletin Materials Science*, 32 (2009) 141–147.
- [27] Eltabey M. M., El-Shokrofy K. M., Gharbia S. A., “*Enhancement of the magnetic properties of Ni–Cu–Zn ferrites by the non-magnetic Al³⁺-ions substitution*”, *Journal of Alloys and Compound*, 509 (2011) 2473–2477.
- [28] Gholizadeh A., Tajabor N., “*Influence of N₂- and Ar-ambient annealing on the physical properties of SnO₂:Co transparent conducting films*”, *Materials Science in Semiconducting Processing*, 13 (2010) 162–166.
- [29] Peña M. A., Fierro J. L. G., “*Chemical Structures and Performance of Perovskite Oxides*”, *Chem. Rev.* 101 (2001) 1981–2017.
- [30] Cimino S., Lisi L., De Rossi S., Faticanti S., Porta P., “*Methane combustion and CO oxidation on LaAl_{1-x}Mn_xO₃ perovskite-type oxide solid solutions*”, *Appl. Catal. B*, 43 (2003) 397–406.
- [10] Manikandan A., et al, “*Structural, optical and magnetic properties of Zn_{1-x}Cu_xFe₂O₄ nanoparticles prepared by microwave combustion method*”, *Journal of Molecular Structure*, 1035 (2013) 332–340.
- [11] Zaki H. M., Dawoud H. A., “*Far-infrared spectra for copper-zinc mixed ferrites*”, *Physica B: Condensed Matter*, 405 (2010) 4476–4479.
- [12] Kulkarni R.G., Patil V. U., “*Magnetic ordering in Cu-Zn ferrite*”, *Journal of Materials Science*, 17 (1982) 843–848.
- [13] Vijayaraj M., Gopinath M., “*On the “Active spacer and stabilizer” role of Zn in Cu_{1-x}Zn_xFe₂O₄ in the selective mono-N-methylation of aniline: XPS and catalysis study*”, *Journal of Catalysis*, 241 (2006) 83–95.
- [14] Koleva K. V., Velinov N. I., Tsoncheva T. S., Mitov I. G., “*Preparation, structure and catalytic properties of copper-zinc ferrites*”, *Bulgarian Chemical Communications*, 47 (2015) 348–353.
- [15] Rezlescu N., Rezlescu N., Popa P. D., Doroftei C., Ignat M., “*Scandium substituted nickel–cobalt ferrite nanoparticles for catalyst applications*”, *Applied Catalysis B: Environmental*, 158–159 (2014) 70–75.
- [16] Evans G., et al., “*Particle size–activity relationship for CoFe₂O₄ nanoparticle CO oxidation catalysts*”, *Journal of Materials Chemistry*, 18 (2008) 5518–5523.
- [17] Lou J.C., Chang C. K., “*Catalytic Oxidation of CO Over a Catalyst Produced in the Ferrite Process*”, *Environmental Engineering Science*, 23 (2006) 1024–1032.
- [18] Chand P., “*Magnetic properties of ferrites synthesized by low temperature technique*”, *Hyperfine Interact* 184 (2008) 195–200.
- [19] Wu W., Cai J., Wu X., Wang X., Hu Y., Wang Q., “*Nanocrystalline Cu_{0.5}Zn_{0.5}Fe₂O₄: Preparation and Kinetics of Thermal Decomposition of Precursor*”, 26 (2013) 3523–3528.
- [20] Bayrakdar H., Yalçın O., Cengiz U., Özüm S., Anig S., Topel S., “*Comparison effects and electron spin resonance studies of α-Fe₂O₄ spinel type ferrite nanoparticles*”, *Spectrochimica Acta Part A: Molecular and Biomolecular Spectroscopy* 132 (2014) 160–164.